

3º CAPÍTULO

Análise de Imagens Binárias



Prof. Arnaldo Abrantes

- Vizinhanças mais comuns

| | | |
|---|---|---|
| | N | |
| W | * | E |
| | S | |

Vizinhança N_4

| | | |
|----|---|----|
| NW | N | NE |
| W | * | E |
| SW | S | SE |

Vizinhança N_8

- Utilização de máscaras

– Exemplo:

| | | |
|---|---|---|
| 1 | 1 | 1 |
| 1 | 1 | 1 |
| 1 | 1 | 1 |

| | | |
|---|---|---|
| 1 | 2 | 1 |
| 2 | 4 | 2 |
| 1 | 2 | 1 |

| |
|---|
| 1 |
| 1 |
| 1 |
| 1 |
| 1 |

origem

| | | | | |
|----|----|----|----|----|
| 40 | 40 | 80 | 80 | 80 |
| 40 | 40 | 80 | 80 | 80 |
| 40 | 40 | 80 | 80 | 80 |
| 40 | 40 | 80 | 80 | 80 |
| 40 | 40 | 80 | 80 | 80 |

entrada →



| | | | | |
|----|----|----|----|----|
| 40 | 50 | 70 | 80 | 80 |
| 40 | 50 | 70 | 80 | 80 |
| 40 | 50 | 70 | 80 | 80 |
| 40 | 50 | 70 | 80 | 80 |
| 40 | 50 | 70 | 80 | 80 |

saída →



- Algoritmo
 - **Hipótese:** Objecto é um conjunto conexo de pixels (conectividade 4) e sem buracos no seu interior

| | | | | | | | | | | | | | | |
|-------------------|---|---|---|---|---|---|---|-------------------|---|---|---|---|---|---|
| 0 | 0 | 0 | 0 | 1 | 0 | 0 | 1 | 1 | 1 | 1 | 1 | 0 | 0 | 1 |
| 0 | 1 | 1 | 0 | 0 | 0 | 0 | 0 | 1 | 0 | 1 | 1 | 1 | 1 | 1 |
| Cantos exteriores | | | | | | | | Cantos interiores | | | | | | |

Compute the number of foreground objects of binary image B.

Objects are 4-connected and simply connected.

E is the number of external corners.

I is the number of internal corners.

```
procedure count_objects(B);
{
  E := 0;
  I := 0;
  for L := 0 to MaxRow - 1
    for P := 0 to MaxCol - 1
      {
        if external_match(L, P) then E := E + 1;
        if internal_match(L, P) then I := I + 1;
      };
  return((E - I) / 4);
}
```

Quantos objectos?

| | | | | | | | | | |
|---|---|---|---|--|---|---|---|---|--|
| | | | | | | | e | e | |
| | | | | | e | | i | | |
| e | | | e | | | | | | |
| | i | i | | | e | | | e | |
| e | e | | | | e | e | | | |
| e | | i | | | e | e | | | |
| e | | | e | | | | e | e | |
| | | | | | | e | i | | |
| | | | | | | e | | e | |
| | | | | | | | | | |

e - 21

i - 5

$$\# = \frac{21-5}{4} = \frac{16}{4} = 4$$

E agora?

| | | | | | | | | | |
|---|---|---|---|---|---|---|---|---|--|
| | | | | | | | e | e | |
| | | | | | e | | i | | |
| e | | | e | | | | | | |
| | i | i | | | e | | | e | |
| e | e | | | | e | e | | | |
| e | | i | | | e | e | | | |
| e | | | | e | | | e | e | |
| | | | e | e | | e | i | | |
| | | | | | | e | | e | |
| | | | | | | | | | |

e - 23

i - 4

$$\# = \frac{23 - 4}{4} = \frac{19}{4} = ?$$

Extracção de componentes conexos - algoritmo recursivo

Compute the connected components of a binary image.

B is the original binary image.

LB will be the labeled connected component image.

```

procedure recursive_connected_components(B, LB);
{
  LB := negate(B);
  label := 0;
  find_components(LB, label);
  print(LB);
}
    
```

```

procedure find_components(LB, label);
{
  for L := 0 to MaxRow
    for P := 0 to MaxCol
      if LB[L,P] == -1 then
        {
          label := label + 1;
          search(LB, label, L, P);
        }
}
    
```

```

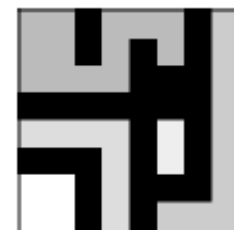
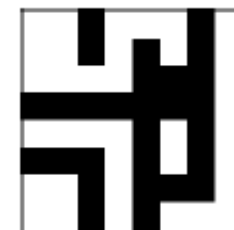
procedure search(LB, label, L, P);
{
  LB[L,P] := label;
  Nset := neighbors(L, P);
  for each (L',P') in Nset
    {
      if LB[L',P'] == -1
      then search(LB, label, L', P');
    }
}
    
```

| | | | | | | | |
|---|---|---|---|---|---|---|---|
| 1 | 1 | 0 | 1 | 1 | 1 | 0 | 1 |
| 1 | 1 | 0 | 1 | 0 | 1 | 0 | 1 |
| 1 | 1 | 1 | 1 | 0 | 0 | 0 | 1 |
| 0 | 0 | 0 | 0 | 0 | 0 | 0 | 1 |
| 1 | 1 | 1 | 1 | 0 | 1 | 0 | 1 |
| 0 | 0 | 0 | 1 | 0 | 1 | 0 | 1 |
| 1 | 1 | 0 | 1 | 0 | 0 | 0 | 1 |
| 1 | 1 | 0 | 1 | 0 | 1 | 1 | 1 |

↑
entrada

saída
↓

| | | | | | | | |
|---|---|---|---|---|---|---|---|
| 1 | 1 | 0 | 1 | 1 | 1 | 0 | 2 |
| 1 | 1 | 0 | 1 | 0 | 1 | 0 | 2 |
| 1 | 1 | 1 | 1 | 0 | 0 | 0 | 2 |
| 0 | 0 | 0 | 0 | 0 | 0 | 0 | 2 |
| 3 | 3 | 3 | 3 | 0 | 4 | 0 | 2 |
| 0 | 0 | 0 | 3 | 0 | 4 | 0 | 2 |
| 5 | 5 | 0 | 3 | 0 | 0 | 0 | 2 |
| 5 | 5 | 0 | 3 | 0 | 2 | 2 | 2 |



Algoritmo recursivo - Exemplo

Step 1.

| | | | | | |
|----|----|----|----|----|----|
| -1 | -1 | 0 | -1 | -1 | -1 |
| -1 | -1 | 0 | -1 | 0 | 0 |
| -1 | -1 | -1 | -1 | 0 | 0 |

Step 2.

| | | | | | |
|----|----|----|----|----|----|
| 1 | -1 | 0 | -1 | -1 | -1 |
| -1 | -1 | 0 | -1 | 0 | 0 |
| -1 | -1 | -1 | -1 | 0 | 0 |

Step 3.

| | | | | | |
|----|----|----|----|----|----|
| 1 | 1 | 0 | -1 | -1 | -1 |
| -1 | -1 | 0 | -1 | 0 | 0 |
| -1 | -1 | -1 | -1 | 0 | 0 |

Step 4.

| | | | | | |
|----|----|----|----|----|----|
| 1 | 1 | 0 | -1 | -1 | -1 |
| 1 | -1 | 0 | -1 | 0 | 0 |
| -1 | -1 | -1 | -1 | 0 | 0 |

Step 5.

| | | | | | |
|----|----|----|----|----|----|
| 1 | 1 | 0 | -1 | -1 | -1 |
| 1 | 1 | 0 | -1 | 0 | 0 |
| -1 | -1 | -1 | -1 | 0 | 0 |

Vizinhança 4

| | | |
|---|---|---|
| | 1 | |
| 2 | * | 3 |
| | 4 | |

Vizinhança 8

| | | |
|---|---|---|
| 1 | 2 | 3 |
| 4 | * | 5 |
| 6 | 7 | 8 |

Construct the union of two sets.

X is the label of the first set.

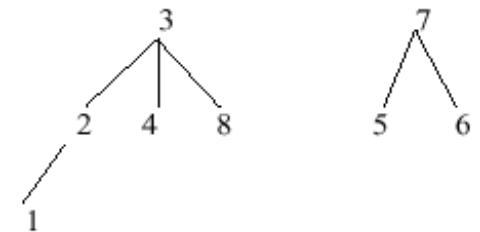
Y is the label of the second set.

PARENT is the array containing the union-find data structure.

```
procedure union(X, Y, PARENT);
{
  j := X;
  k := Y;
  while PARENT[j] <> 0
    j := PARENT[j];
  while PARENT[k] <> 0
    k := PARENT[k];
  if j <> k then PARENT[k] := j;
}
```

PARENT

| 1 | 2 | 3 | 4 | 5 | 6 | 7 | 8 |
|---|---|---|---|---|---|---|---|
| 2 | 3 | 0 | 3 | 7 | 7 | 0 | 3 |



Find the parent label of a set.

X is a label of the set.

PARENT is the array containing the union-find data structure.

```
procedure find(X, PARENT);
{
  j := X;
  while PARENT[j] <> 0
    j := PARENT[j];
  return(j);
}
```


ECC - algoritmo clássico com união-procura

Compute the connected components of a binary image.

B is the original binary image.

LB will be the labeled connected component image.

```

procedure classicalwithunionfind(B, LB);
{
  "Initialize structures."
  initialize();
  "Pass 1 assigns initial labels to each row L of the image."
  for L := 0 to MaxRow
  {
    "Initialize all labels on line L to zero"
    for P := 0 to MaxCol
      LB[L,P] := 0;
    "Process line L."
    for P := 0 to MaxCol
      if B[L,P] == 1 then
      {
        A := prior_neighbors(L,P);
        if isempty(A)
          then { M := label; label := label + 1; };
        else M := min(labels(A));
        LB[L,P] := M;
        for X in labels(A) and X <> M
          union(M, X, PARENT);
      }
  }
  "Pass 2 replaces Pass 1 labels with equivalence class labels."
  for L := 0 to MaxRow
    for P := 0 to MaxCol
      if B[L,P] == 1
        then LB[L,P] := find(LB[L,P], PARENT);
  };

```

| | | | | | | | |
|---|---|---|---|---|---|---|---|
| 1 | 1 | 0 | 1 | 1 | 1 | 0 | 1 |
| 1 | 1 | 0 | 1 | 0 | 1 | 0 | 1 |
| 1 | 1 | 1 | 1 | 0 | 0 | 0 | 1 |
| 0 | 0 | 0 | 0 | 0 | 0 | 0 | 1 |
| 1 | 1 | 1 | 1 | 0 | 1 | 0 | 1 |
| 0 | 0 | 0 | 1 | 0 | 1 | 0 | 1 |
| 1 | 1 | 0 | 1 | 0 | 0 | 0 | 1 |
| 1 | 1 | 0 | 1 | 0 | 1 | 1 | 1 |

← entrada

1º passo →

| | | | | | | | |
|---|---|---|---|---|---|---|---|
| 1 | 1 | 0 | 2 | 2 | 2 | 0 | 3 |
| 1 | 1 | 0 | 2 | 0 | 2 | 0 | 3 |
| 1 | 1 | 1 | 1 | 0 | 0 | 0 | 3 |
| 0 | 0 | 0 | 0 | 0 | 0 | 0 | 3 |
| 4 | 4 | 4 | 4 | 0 | 5 | 0 | 3 |
| 0 | 0 | 0 | 4 | 0 | 5 | 0 | 3 |
| 6 | 6 | 0 | 4 | 0 | 0 | 0 | 3 |
| 6 | 6 | 0 | 4 | 0 | 7 | 7 | 3 |

PARENT

| | | | | | | |
|---|---|---|---|---|---|---|
| 1 | 2 | 3 | 4 | 5 | 6 | 7 |
| 0 | 1 | 0 | 0 | 0 | 0 | 3 |

← classes equiv.

2º passo →

| | | | | | | | |
|---|---|---|---|---|---|---|---|
| 1 | 1 | 0 | 1 | 1 | 1 | 0 | 3 |
| 1 | 1 | 0 | 1 | 0 | 1 | 0 | 3 |
| 1 | 1 | 1 | 1 | 0 | 0 | 0 | 3 |
| 0 | 0 | 0 | 0 | 0 | 0 | 0 | 3 |
| 4 | 4 | 4 | 4 | 0 | 5 | 0 | 3 |
| 0 | 0 | 0 | 4 | 0 | 5 | 0 | 3 |
| 6 | 6 | 0 | 4 | 0 | 0 | 0 | 3 |
| 6 | 6 | 0 | 4 | 0 | 3 | 3 | 3 |

Exercício

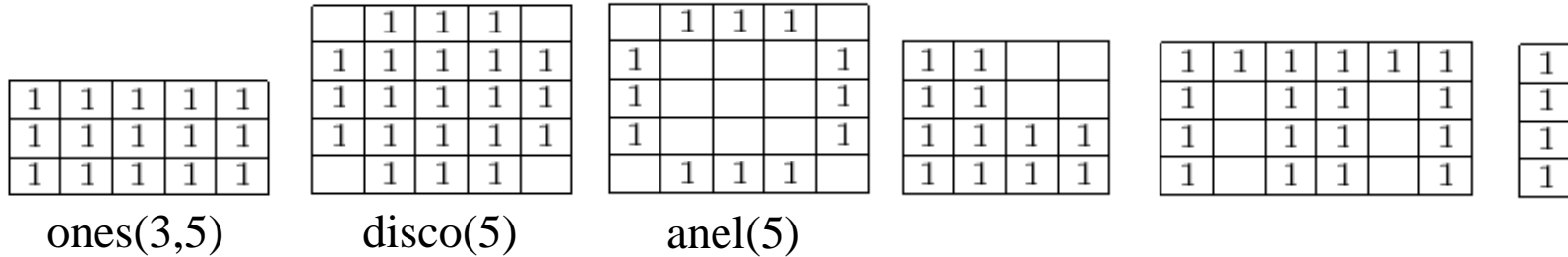
- Aplique o algoritmo de ECC, considerando conectividade 4

| | | | | | | | | | |
|--|---|---|---|---|---|--|---|---|--|
| | | | | | | | | | |
| | 1 | | | 2 | | | | | |
| | 1 | 1 | 1 | 1 | 1 | | | | |
| | | | 1 | | 1 | | | | |
| | 3 | 3 | 1 | | | | | | |
| | | 3 | | | | | | 4 | |
| | | 3 | 3 | | | | 5 | 4 | |
| | | 3 | | | | | | | |
| | | | | | | | | | |
| | | | | | | | | | |

| | | | | |
|---|---|---|---|---|
| 1 | 2 | 3 | 4 | 5 |
| 0 | 0 | 0 | 0 | 0 |

- Qual deveria ser a forma da máscara se considerasse conectividade 8?

- Elementos estruturantes



– necessário definir uma origem

- Definição**: A **dilatação** dum imagem binária B pelo elemento estruturante S define-se da seguinte forma

$$B \oplus S = \bigcup_{b \in B} S_b \quad S_b = \{s + b | s \in S\}$$

- Definição**: A **erosão** dum imagem binária B pelo elemento estruturante S define-se da seguinte forma

$$B \ominus S = \{b | b + s \in B \forall s \in S\}$$

Operadores morfológicos - Exemplos

| | | | | | | | |
|---|---|---|---|---|---|---|--|
| | | | | | | | |
| 1 | 1 | 1 | 1 | 1 | 1 | 1 | |
| | | | 1 | 1 | 1 | 1 | |
| | | | 1 | 1 | 1 | 1 | |
| | | 1 | 1 | 1 | 1 | 1 | |
| | | | 1 | 1 | 1 | 1 | |
| | | 1 | 1 | | | | |
| | | | | | | | |

a) Binary image B

| | | |
|---|----------|---|
| 1 | 1 | 1 |
| 1 | 1 | 1 |
| 1 | 1 | 1 |

b) Structuring Element S

| | | | | | | | |
|---|---|---|---|---|---|---|---|
| 1 | 1 | 1 | 1 | 1 | 1 | 1 | 1 |
| 1 | 1 | 1 | 1 | 1 | 1 | 1 | 1 |
| 1 | 1 | 1 | 1 | 1 | 1 | 1 | 1 |
| | 1 | 1 | 1 | 1 | 1 | 1 | 1 |
| | 1 | 1 | 1 | 1 | 1 | 1 | 1 |
| | 1 | 1 | 1 | 1 | 1 | 1 | 1 |
| | 1 | 1 | 1 | 1 | 1 | 1 | 1 |
| | 1 | 1 | 1 | 1 | | | |

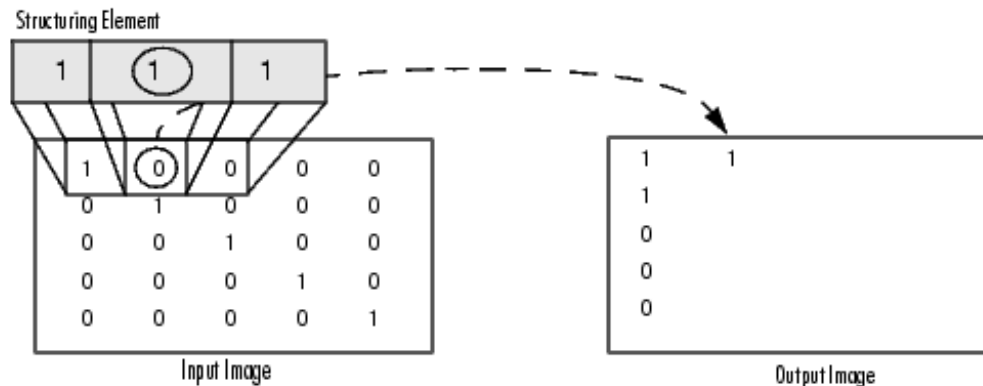
c) Dilation $B \oplus S$

| | | | | | | | |
|--|--|--|--|---|---|--|--|
| | | | | | | | |
| | | | | | | | |
| | | | | 1 | 1 | | |
| | | | | 1 | 1 | | |
| | | | | 1 | 1 | | |
| | | | | | | | |
| | | | | | | | |
| | | | | | | | |
| | | | | | | | |

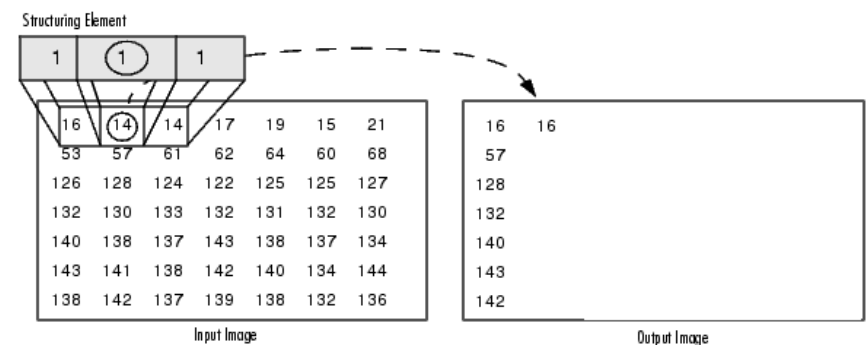
d) Erosion $B \ominus S$

Dilatação e erosão – Generalização para imagens monocromáticas

| Operação | Regra |
|-----------|---|
| Dilatação | O valor do pixel de saída é o valor máximo de todos os pixels na vizinhança do pixel de entrada. É atribuído o valor mínimo (0) aos pixels exteriores |
| Erosão | O valor do pixel de saída é o valor mínimo de todos os pixels na vizinhança do pixel de entrada. É atribuído o valor máximo (1 ou 255) aos pixels exteriores |



Dilatação de imagem binária



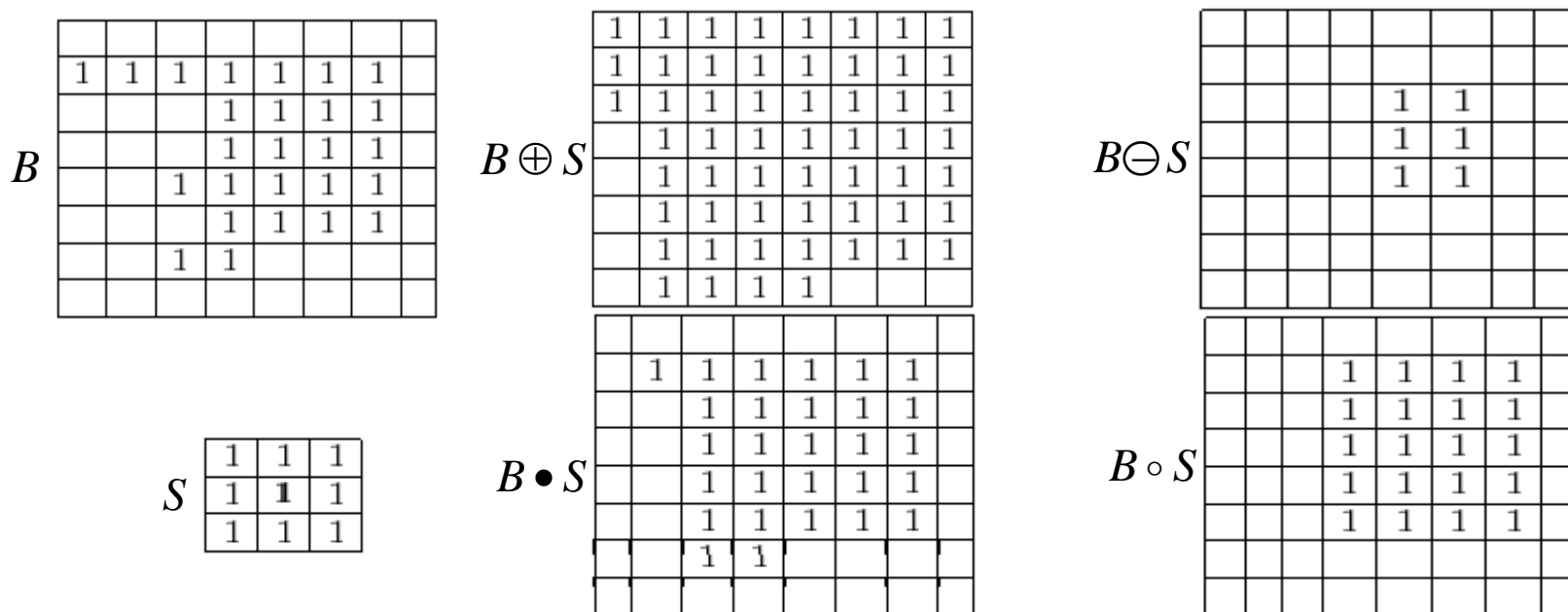
Dilatação de imagem monocromática

- **Definição:** O **fecho** dum imagem binária B pelo elemento estruturante S define-se da seguinte forma

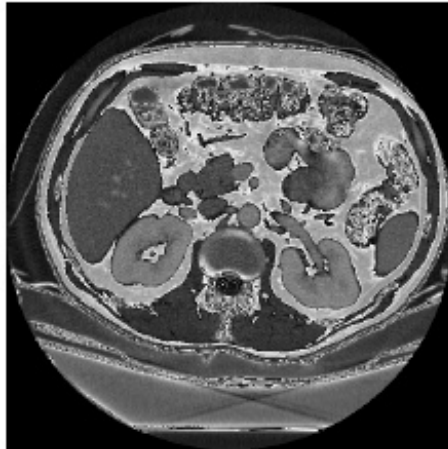
$$B \bullet S = (B \oplus S) \ominus S$$

- **Definição:** A **abertura** dum imagem binária B pelo elemento estruturante S define-se da seguinte forma

$$B \circ S = (B \ominus S) \oplus S$$



- aplicações médicas (resolução 512x512)
 - **abertura** com disco(13) seguido de **fecho** com disco(2)



original



binarizada

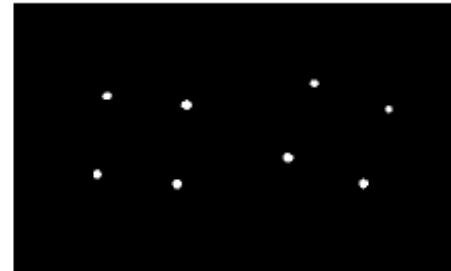
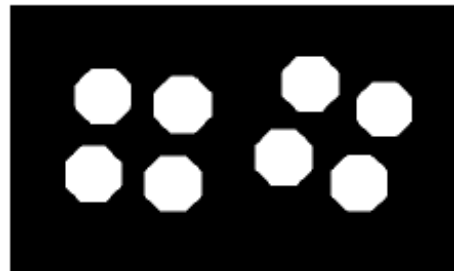
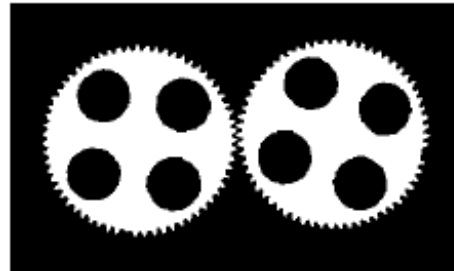


processada

- extracção de primitivas geométricas
 - subtrai da imagem original a obtida desta através do operador **abertura** usando pequeno disco como elemento estruturante



entrada

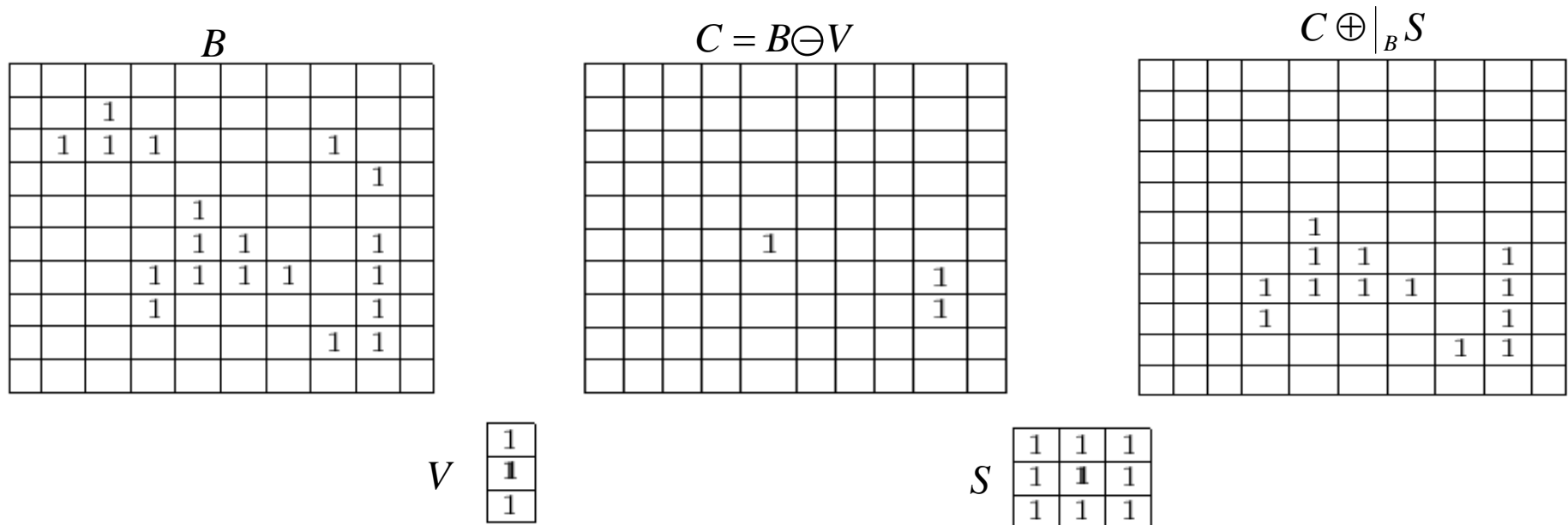


saída ←

Dilatação condicional

- **Definição:** Dadas as imagens binárias original B , e processada C , e o elemento estruturante S , e seja $C_0 = C$ e $C_n = (C_{n-1} \oplus S) \cap B$. A **dilatação condicional** de C por S com respeito a B define-se como $C \oplus|_B S = C_m$

onde m é o menor inteiro que satisfaz a condição $C_m = C_{m-1}$



- Área

$$A = \sum_{(r,c) \in R} 1$$

- Centróide

$$\bar{r} = \frac{1}{A} \sum_{(r,c) \in R} r \quad \bar{c} = \frac{1}{A} \sum_{(r,c) \in R} c$$

- Pixels de perímetro

$$P_4 = \{(r,c) \in R \mid N_8(r,c) - R \neq \emptyset\}$$

$$P_8 = \{(r,c) \in R \mid N_4(r,c) - R \neq \emptyset\}$$

- comprimento do perímetro

$$|P| = \left| \{k \mid (r_{k+1}, c_{k+1}) \in N_4(r_k, c_k)\} \right| \\ + \sqrt{2} \left| \{k \mid (r_{k+1}, c_{k+1}) \in N_8(r_k, c_k) - N_4(r_k, c_k)\} \right|$$

- Circularidade (1)

$$C_1 = \frac{|P|^2}{A}$$

- Circularidade (2)

$$C_2 = \frac{\mu_R}{\sigma_R}$$

- distância radial média

$$\mu_R = \frac{1}{K} \sum_{k=0}^{K-1} \|(r_k, c_k) - (\bar{r}, \bar{c})\|$$

- desvio padrão da distância radial

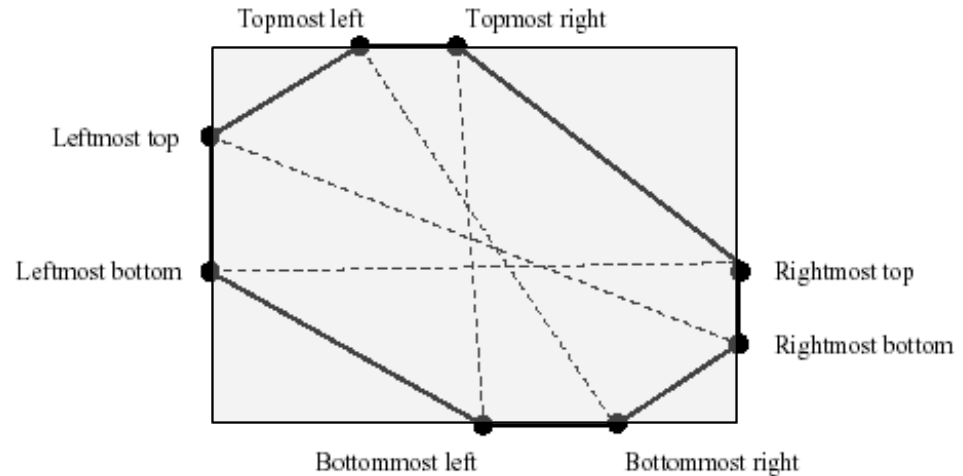
$$\sigma_R = \left(\frac{1}{K} \sum_{k=0}^{K-1} (\|(r_k, c_k) - (\bar{r}, \bar{c})\| - \mu_R)^2 \right)^{1/2}$$

| | | | | | | | | | | | | | | | |
|---|---|---|---|---|---|---|---|---|---|---|---|---|---|---|---|
| 0 | 0 | 0 | 0 | 0 | 0 | 0 | 0 | 0 | 0 | 0 | 0 | 0 | 0 | 0 | 0 |
| 0 | 0 | 0 | 0 | 0 | 0 | 0 | 0 | 0 | 0 | 0 | 0 | 0 | 0 | 0 | 0 |
| 0 | 0 | 0 | 0 | 0 | 0 | 0 | 0 | 0 | 0 | 0 | 0 | 0 | 0 | 0 | 0 |
| 0 | 0 | 0 | 0 | 0 | 0 | 0 | 0 | 0 | 0 | 1 | 1 | 1 | 1 | 0 | 0 |
| 2 | 2 | 2 | 2 | 0 | 0 | 0 | 0 | 0 | 1 | 1 | 1 | 1 | 1 | 1 | 0 |
| 2 | 2 | 2 | 2 | 0 | 0 | 0 | 0 | 1 | 1 | 1 | 1 | 1 | 1 | 1 | 1 |
| 2 | 2 | 2 | 2 | 0 | 0 | 0 | 0 | 1 | 1 | 1 | 1 | 1 | 1 | 1 | 1 |
| 2 | 2 | 2 | 2 | 0 | 0 | 0 | 0 | 1 | 1 | 1 | 1 | 1 | 1 | 1 | 1 |
| 2 | 2 | 2 | 2 | 0 | 0 | 0 | 0 | 0 | 1 | 1 | 1 | 1 | 1 | 1 | 0 |
| 2 | 2 | 2 | 2 | 0 | 0 | 0 | 0 | 0 | 0 | 1 | 1 | 1 | 1 | 0 | 0 |
| 2 | 2 | 2 | 2 | 0 | 0 | 0 | 0 | 0 | 0 | 0 | 0 | 0 | 0 | 0 | 0 |
| 2 | 2 | 2 | 2 | 0 | 0 | 0 | 0 | 0 | 0 | 0 | 0 | 0 | 0 | 0 | 0 |
| 2 | 2 | 2 | 2 | 0 | 0 | 3 | 3 | 3 | 0 | 0 | 0 | 0 | 0 | 0 | 0 |
| 2 | 2 | 2 | 2 | 0 | 0 | 3 | 3 | 3 | 0 | 0 | 0 | 0 | 0 | 0 | 0 |
| 2 | 2 | 2 | 2 | 0 | 0 | 3 | 3 | 3 | 0 | 0 | 0 | 0 | 0 | 0 | 0 |
| 2 | 2 | 2 | 2 | 0 | 0 | 0 | 0 | 0 | 0 | 0 | 0 | 0 | 0 | 0 | 0 |

| region num. | region area | row of center | col of center | perim. length | circularity ₁ | circularity ₂ | radius mean | radius var. |
|-------------|-------------|---------------|---------------|---------------|--------------------------|--------------------------|-------------|-------------|
| 1 | 44 | 6 | 11.5 | 21.2 | 10.2 | 15.4 | 3.33 | .05 |
| 2 | 48 | 9 | 1.5 | 28 | 16.3 | 2.5 | 3.80 | 2.28 |
| 3 | 9 | 13 | 7 | 8 | 7.1 | 5.8 | 1.2 | 0.04 |

Propriedades – fronteiras e comprimentos

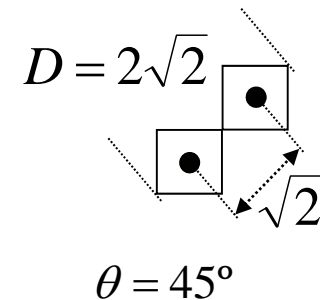
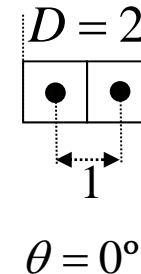
- Rectângulo (e octógono) de fronteira



- Comprimento de um segmento (eixo)

$$D = \sqrt{(r_2 - r_1)^2 + (c_2 - c_1)^2} + Q(\theta)$$

$$Q(\theta) = \begin{cases} \frac{1}{|\cos(\theta)|} & : |\theta| < 45^\circ \\ \frac{1}{|\sin(\theta)|} & : |\theta| > 45^\circ \end{cases}$$



Propriedades – Momentos de 2ª ordem

- Momentos de 2ª ordem centrados

$$\mu_{rr} = \frac{1}{A} \sum_{(r,c) \in R} (r - \bar{r})^2$$

$$\mu_{cc} = \frac{1}{A} \sum_{(r,c) \in R} (c - \bar{c})^2$$

$$\mu_{rc} = \frac{1}{A} \sum_{(r,c) \in R} (r - \bar{r})(c - \bar{c})$$

- Relação entre momentos e regiões elípticas

$$R = \{(r, c) \mid dr^2 + 2erc + fc^2 \leq 1\}$$

$$\begin{pmatrix} d & e \\ e & f \end{pmatrix}_c = \frac{1}{4(\mu_{rr}\mu_{cc} - \mu_{rc}^2)} \begin{pmatrix} \mu_{cc} & -\mu_{rc} \\ -\mu_{rc} & \mu_{rr} \end{pmatrix}$$

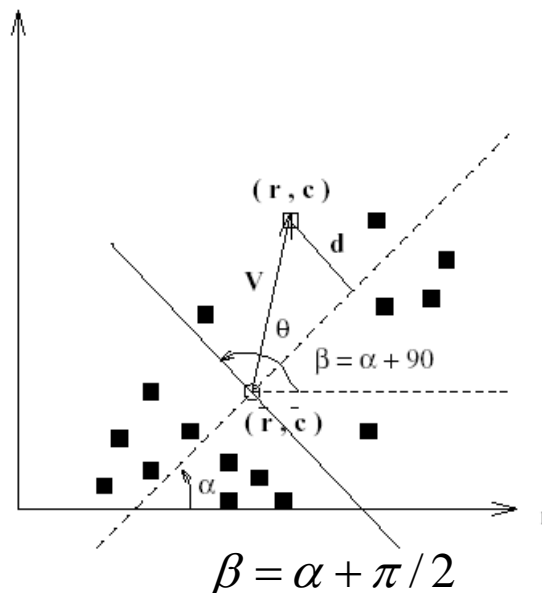
- Eixos de menor e maior inércia

– Formulação

$$\begin{aligned} \mu_{\bar{r}, \bar{c}, \alpha} &= \frac{1}{A} \sum_{(r,c) \in R} d^2 \\ &= \frac{1}{A} \sum_{(r,c) \in R} (\bar{V} \circ (\cos \beta, \sin \beta))^2 \end{aligned}$$

– Solução

$$\tan(2\hat{\alpha}) = \frac{2\mu_{rc}}{\mu_{rr} - \mu_{cc}}$$

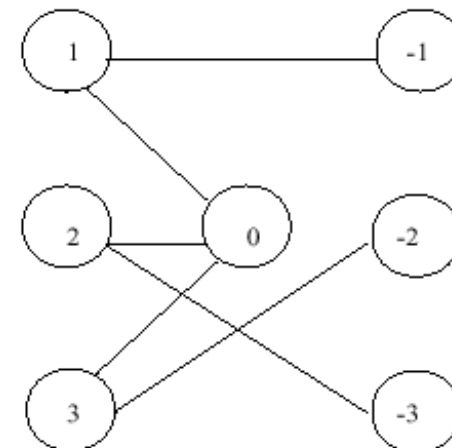


Grafos de adjacências de regiões

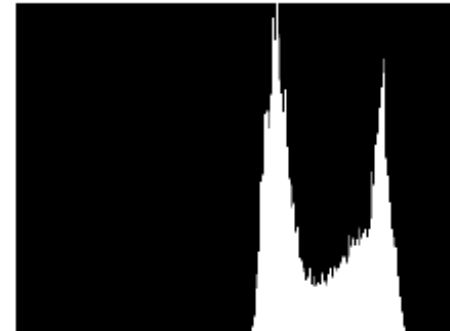
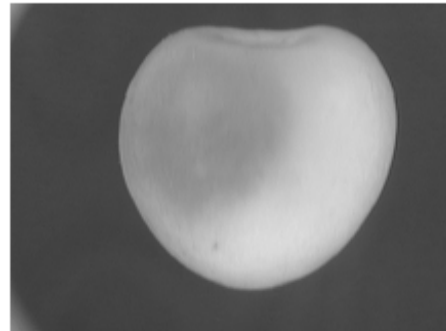
- **Problema:** regiões possuem buracos (fundo) no seu interior
- **Solução:** algoritmo com 3 passos
 - aplicação do algoritmo de extracção de componentes conexos duas vezes: (1) aos pixels activos e (2) aos pixels do fundo

| | | | | | | | | | |
|---|---|----|----|----|---|----|----|---|---|
| 0 | 0 | 0 | 0 | 0 | 0 | 0 | 0 | 0 | 0 |
| 0 | 1 | 1 | 1 | 1 | 1 | 0 | 2 | 2 | 0 |
| 0 | 1 | -1 | -1 | -1 | 1 | 0 | 2 | 2 | 0 |
| 0 | 1 | 1 | 1 | 1 | 1 | 0 | 2 | 2 | 0 |
| 0 | 0 | 0 | 0 | 0 | 0 | 0 | 2 | 2 | 0 |
| 0 | 3 | 3 | 3 | 0 | 2 | 2 | 2 | 2 | 0 |
| 0 | 3 | -2 | 3 | 0 | 2 | -3 | -3 | 2 | 0 |
| 0 | 3 | -2 | 3 | 0 | 2 | -3 | -3 | 2 | 0 |
| 0 | 3 | 3 | 3 | 0 | 2 | 2 | 2 | 2 | 0 |
| 0 | 0 | 0 | 0 | 0 | 0 | 0 | 0 | 0 | 0 |

- (3) construção de grafo de relações



- **Definição:** o histograma h da imagem monocromática I é definido por
$$h(m) = |\{(r,c) | I(r,c) = m\}|$$



Compute the histogram H of gray-tone image I .

```
procedure histogram(I,H);  
{  
  "Initialize the bins of the histogram to zero."  
  for i := 0 to MaxVal  
    H[i] := 0;  
  "Compute values by accumulation."  
  for L := 0 to MaxRow  
    for P := 0 to MaxCol  
      {  
        grayval := I[r,c];  
        H[grayval] := H[grayval] + 1;  
      };  
}
```

- Método de Otsu

- **Ideia:** minimização da variância intra-classes $\sigma_W^2 = q_1(t)\sigma_1^2(t) + q_2(t)\sigma_2^2(t)$

$$q_1(t) = \sum_{i=0}^t P(i)$$

$$q_2(t) = \sum_{i=t+1}^{MaxVal} P(i)$$

$$\sigma_1^2(t) = \sum_{i=0}^t (i - \mu_1(t))^2 P(i) / q_1(t)$$

$$\sigma_2^2(t) = \sum_{i=t+1}^{MaxVal} (i - \mu_2(t))^2 P(i) / q_2(t)$$

$$\mu_1(t) = \sum_{i=0}^t iP(i) / q_1(t)$$

$$\mu_2(t) = \sum_{i=t+1}^{MaxVal} iP(i) / q_2(t)$$

$$P(i) = h(i) / |R \times C|$$

- Nota: equivalente à maximização da variância inter-classes

$$\sigma_B^2 = q_1(t)(1 - q_1(t))(\mu_1(t) - \mu_2(t))^2$$

$$\sigma^2 = \sigma_W^2 + \sigma_B^2$$

- Algoritmo de Otsu para determinação do limiar t

- Iniciar

$$P(i) = h(i) / |R \times C| \quad q_1(0) = P(0)$$

$$\mu = \sum_{i=0}^{MaxVal} iP(i) \quad \mu_1(0) = 0$$

- For $t := 0$ to $MaxVal$

$$q_1(t+1) = q_1(t) + P(t+1)$$

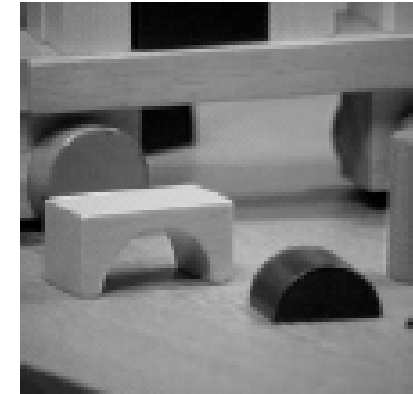
$$\mu_1(t+1) = \frac{q_1(t)\mu_1(t) + (t+1)P(t+1)}{q_1(t+1)}$$

$$\mu_2(t+1) = \frac{\mu - q_1(t+1)\mu_1(t+1)}{1 - q_1(t+1)}$$

$$\sigma_B^2(t) = q_1(t)(1 - q_1(t))(\mu_1(t) - \mu_2(t))^2$$

- Determinação do limiar

$$\hat{t} = \arg \max_t \sigma_B^2(t)$$



Original ($MaxVal=255$)



$t = 93$